

Starkniederschlagshöhen und -spenden gemäß KOSTRA-DWD-2020

Rasterfeld 93189

(Zeile 93, Spalte 189)

Regenspende und Bemessungsniederschlagswerte in Abhängigkeit von Wiederkehrzeit T und Dauerstufe D

| Dauerstufe D | | Wiederkehrzeit T | | | | | | | | | | | | | | | | | |
|--------------|-----|------------------|------------|------|------------|------|------------|------|------------|------|------------|-------|------------|-------|------------|-------|------------|-------|------------|
| | | 1 a | | 2 a | | 3 a | | 5 a | | 10 a | | 20 a | | 30 a | | 50 a | | 100 a | |
| min | Std | mm | l / (s ha) | mm | l / (s ha) | mm | l / (s ha) | mm | l / (s ha) | mm | l / (s ha) | mm | l / (s ha) | mm | l / (s ha) | mm | l / (s ha) | mm | l / (s ha) |
| 5 | | 7,1 | 236,7 | 9,0 | 300,0 | 10,2 | 340,0 | 11,7 | 390,0 | 14,0 | 466,7 | 16,2 | 540,0 | 17,7 | 590,0 | 19,7 | 656,7 | 22,5 | 750,0 |
| 10 | | 9,0 | 150,0 | 11,3 | 188,3 | 12,8 | 213,3 | 14,7 | 245,0 | 17,5 | 291,7 | 20,4 | 340,0 | 22,3 | 371,7 | 24,7 | 411,7 | 28,3 | 471,7 |
| 15 | | 10,1 | 112,2 | 12,7 | 141,1 | 14,4 | 160,0 | 16,6 | 184,4 | 19,7 | 218,9 | 22,9 | 254,4 | 25,1 | 278,9 | 27,8 | 308,9 | 31,8 | 353,3 |
| 20 | | 10,9 | 90,8 | 13,8 | 115,0 | 15,6 | 130,0 | 17,9 | 149,2 | 21,3 | 177,5 | 24,8 | 206,7 | 27,1 | 225,8 | 30,1 | 250,8 | 34,4 | 286,7 |
| 30 | | 12,1 | 67,2 | 15,3 | 85,0 | 17,3 | 96,1 | 19,9 | 110,6 | 23,7 | 131,7 | 27,6 | 153,3 | 30,1 | 167,2 | 33,5 | 186,1 | 38,2 | 212,2 |
| 45 | | 13,4 | 49,6 | 17,0 | 63,0 | 19,2 | 71,1 | 22,1 | 81,9 | 26,2 | 97,0 | 30,5 | 113,0 | 33,3 | 123,3 | 37,0 | 137,0 | 42,3 | 156,7 |
| 60 | 1 | 14,4 | 40,0 | 18,2 | 50,6 | 20,6 | 57,2 | 23,7 | 65,8 | 28,1 | 78,1 | 32,7 | 90,8 | 35,8 | 99,4 | 39,7 | 110,3 | 45,4 | 126,1 |
| 90 | 1,5 | 15,8 | 29,3 | 20,1 | 37,2 | 22,7 | 42,0 | 26,1 | 48,3 | 31,0 | 57,4 | 36,1 | 66,9 | 39,4 | 73,0 | 43,8 | 81,1 | 50,0 | 92,6 |
| 120 | 2 | 17,0 | 23,6 | 21,5 | 29,9 | 24,3 | 33,8 | 27,9 | 38,8 | 33,2 | 46,1 | 38,6 | 53,6 | 42,2 | 58,6 | 46,9 | 65,1 | 53,6 | 74,4 |
| 180 | 3 | 18,7 | 17,3 | 23,6 | 21,9 | 26,7 | 24,7 | 30,7 | 28,4 | 36,5 | 33,8 | 42,5 | 39,4 | 46,4 | 43,0 | 51,6 | 47,8 | 58,9 | 54,5 |
| 240 | 4 | 19,9 | 13,8 | 25,2 | 17,5 | 28,5 | 19,8 | 32,8 | 22,8 | 39,0 | 27,1 | 45,4 | 31,5 | 49,6 | 34,4 | 55,1 | 38,3 | 63,0 | 43,8 |
| 360 | 6 | 21,9 | 10,1 | 27,7 | 12,8 | 31,3 | 14,5 | 36,1 | 16,7 | 42,9 | 19,9 | 49,9 | 23,1 | 54,5 | 25,2 | 60,6 | 28,1 | 69,2 | 32,0 |
| 540 | 9 | 24,1 | 7,4 | 30,5 | 9,4 | 34,4 | 10,6 | 39,6 | 12,2 | 47,1 | 14,5 | 54,8 | 16,9 | 59,9 | 18,5 | 66,5 | 20,5 | 76,0 | 23,5 |
| 720 | 12 | 25,7 | 5,9 | 32,5 | 7,5 | 36,8 | 8,5 | 42,3 | 9,8 | 50,3 | 11,6 | 58,6 | 13,6 | 64,0 | 14,8 | 71,1 | 16,5 | 81,2 | 18,8 |
| 1080 | 18 | 28,2 | 4,4 | 35,7 | 5,5 | 40,4 | 6,2 | 46,5 | 7,2 | 55,2 | 8,5 | 64,3 | 9,9 | 70,2 | 10,8 | 78,0 | 12,0 | 89,1 | 13,8 |
| 1440 | 24 | 30,2 | 3,5 | 38,2 | 4,4 | 43,1 | 5,0 | 49,6 | 5,7 | 59,0 | 6,8 | 68,7 | 8,0 | 75,0 | 8,7 | 83,3 | 9,6 | 95,2 | 11,0 |
| 2880 | 48 | 35,4 | 2,0 | 44,7 | 2,6 | 50,6 | 2,9 | 58,2 | 3,4 | 69,2 | 4,0 | 80,5 | 4,7 | 88,0 | 5,1 | 97,7 | 5,7 | 111,7 | 6,5 |
| 4320 | 72 | 38,8 | 1,5 | 49,1 | 1,9 | 55,5 | 2,1 | 63,9 | 2,5 | 75,9 | 2,9 | 88,4 | 3,4 | 96,6 | 3,7 | 107,2 | 4,1 | 122,6 | 4,7 |
| 5760 | 96 | 41,4 | 1,2 | 52,5 | 1,5 | 59,3 | 1,7 | 68,2 | 2,0 | 81,1 | 2,3 | 94,4 | 2,7 | 103,1 | 3,0 | 114,6 | 3,3 | 130,9 | 3,8 |
| 7200 | 120 | 43,6 | 1,0 | 55,2 | 1,3 | 62,4 | 1,4 | 71,8 | 1,7 | 85,4 | 2,0 | 99,4 | 2,3 | 108,6 | 2,5 | 120,6 | 2,8 | 137,8 | 3,2 |
| 8640 | 144 | 45,5 | 0,9 | 57,6 | 1,1 | 65,0 | 1,3 | 74,9 | 1,4 | 89,0 | 1,7 | 103,6 | 2,0 | 113,2 | 2,2 | 125,7 | 2,4 | 143,7 | 2,8 |
| 10080 | 168 | 47,1 | 0,8 | 59,6 | 1,0 | 67,4 | 1,1 | 77,6 | 1,3 | 92,2 | 1,5 | 107,4 | 1,8 | 117,3 | 1,9 | 130,2 | 2,2 | 148,8 | 2,5 |

Starkniederschlagshöhen und -spenden gemäß KOSTRA-DWD-2020

Rasterfeld 93189

(Zeile 93, Spalte 189)

Örtliche Unsicherheiten in Abhängigkeit von Wiederkehrzeit T und Dauerstufe D

| Dauerstufe D | | Wiederkehrzeit T | | | | | | | | |
|--------------|-----|------------------|-----|-----|-----|------|------|------|------|-------|
| | | 1 a | 2 a | 3 a | 5 a | 10 a | 20 a | 30 a | 50 a | 100 a |
| min | Std | ± % | ± % | ± % | ± % | ± % | ± % | ± % | ± % | ± % |
| 5 | | 11 | 11 | 12 | 12 | 13 | 14 | 14 | 15 | 15 |
| 10 | | 12 | 14 | 15 | 16 | 17 | 18 | 19 | 19 | 20 |
| 15 | | 14 | 16 | 17 | 19 | 20 | 21 | 21 | 22 | 23 |
| 20 | | 15 | 17 | 19 | 20 | 21 | 22 | 23 | 23 | 24 |
| 30 | | 16 | 19 | 20 | 21 | 23 | 24 | 24 | 25 | 25 |
| 45 | | 17 | 19 | 21 | 22 | 23 | 24 | 25 | 25 | 26 |
| 60 | 1 | 17 | 19 | 21 | 22 | 23 | 24 | 25 | 26 | 26 |
| 90 | 1,5 | 16 | 19 | 20 | 22 | 23 | 24 | 25 | 25 | 26 |
| 120 | 2 | 16 | 19 | 20 | 21 | 23 | 24 | 24 | 25 | 26 |
| 180 | 3 | 15 | 18 | 19 | 20 | 22 | 23 | 23 | 24 | 25 |
| 240 | 4 | 14 | 17 | 18 | 20 | 21 | 22 | 23 | 23 | 24 |
| 360 | 6 | 14 | 16 | 17 | 19 | 20 | 21 | 22 | 22 | 23 |
| 540 | 9 | 13 | 15 | 16 | 18 | 19 | 20 | 21 | 21 | 22 |
| 720 | 12 | 12 | 15 | 16 | 17 | 18 | 19 | 20 | 20 | 21 |
| 1080 | 18 | 12 | 14 | 15 | 16 | 17 | 18 | 19 | 19 | 20 |
| 1440 | 24 | 11 | 13 | 14 | 15 | 17 | 18 | 18 | 19 | 19 |
| 2880 | 48 | 11 | 13 | 13 | 14 | 15 | 16 | 17 | 17 | 18 |
| 4320 | 72 | 12 | 13 | 13 | 14 | 15 | 16 | 16 | 17 | 17 |
| 5760 | 96 | 12 | 13 | 13 | 14 | 15 | 15 | 16 | 16 | 17 |
| 7200 | 120 | 13 | 13 | 13 | 14 | 14 | 15 | 15 | 16 | 16 |
| 8640 | 144 | 13 | 13 | 13 | 14 | 14 | 15 | 15 | 16 | 16 |
| 10080 | 168 | 14 | 13 | 14 | 14 | 14 | 15 | 15 | 16 | 16 |

Parameter für abweichende T und D

Lokationsparameter ξ (Xi)

14,57539906

Skalenparameter α (Alpha)

5,38060314

Formparameter κ (Kappa)

-0,1

1. Koutsoyiannis-Parameter θ (Theta)

0,01724271

2. Koutsoyiannis-Parameter η (Eta)

0,77084856

Parameter für dauerstufenübergreifende Extremwertschätzung nach KOUTSOYIANNIS et al. 1998.

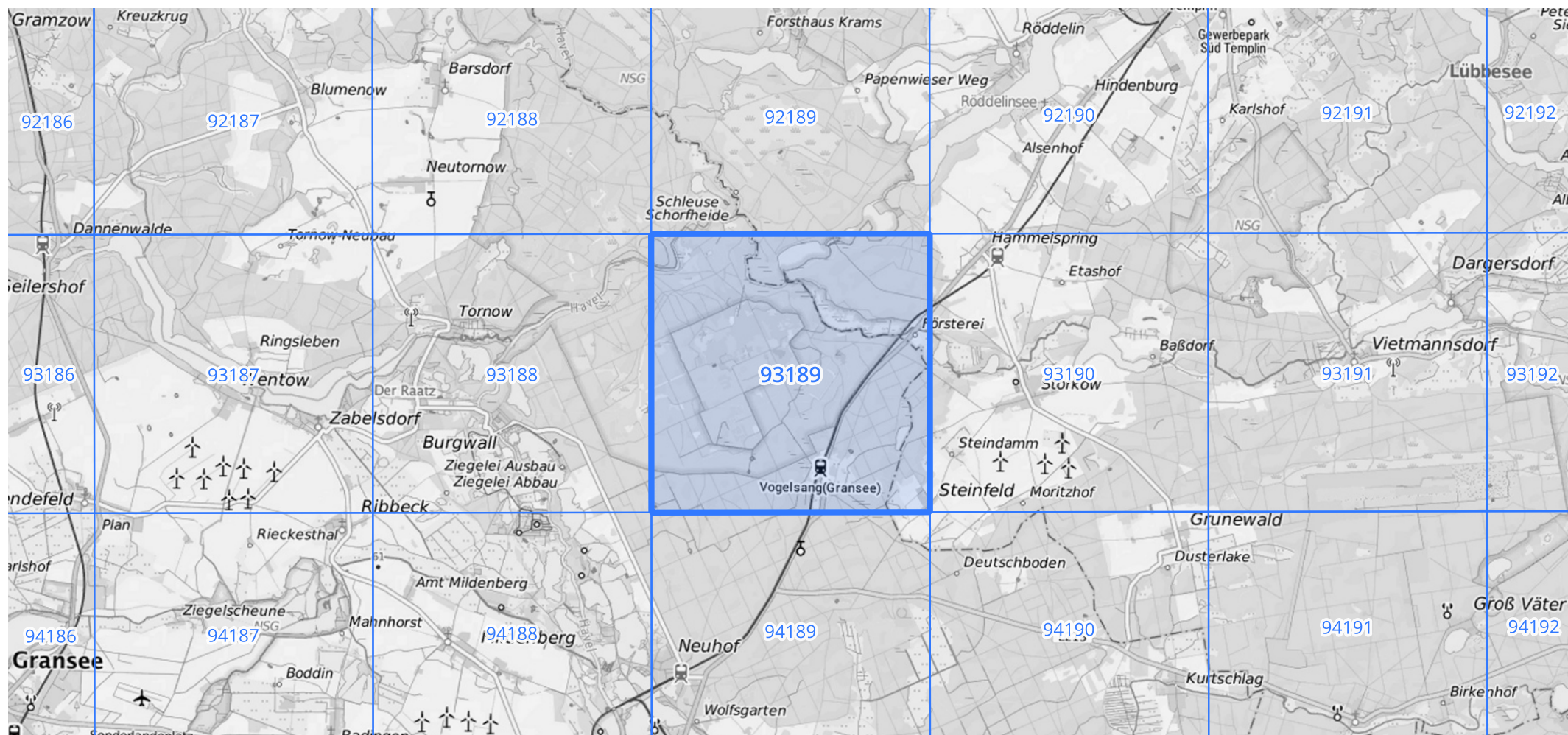
Siehe auch Anwendungshilfe zu KOSTRA-DWD-2020 des Deutschen Wetterdienstes.

Starkniederschlagshöhen und -spenden gemäß KOSTRA-DWD-2020

Rasterfeld 93189

(Zeile 93, Spalte 189)

Übersichtskarte des Rasterfeldes 93189, M 1 : 100 000



Quelle Rasterdaten: KOSTRA-DWD-2020 des Deutschen Wetterdienstes, Stand 12/2022.

Seite 3 von 3

Kartendarstellung: © Bundesamt für Kartographie und Geodäsie (2023), Datenquellen: https://sgx.geodatenzentrum.de/web_public/gdz/datenquellen/Datenquellen_TopPlusOpen.html

Für die Richtigkeit und Aktualität der Angaben wird keine Gewähr übernommen. Erstellt 01/2023.